

# Atomok erős csatolása felületi plazmonok közvetítésével

Dzsotjan Dávid  
(Wigner FK RMI)



Simonyi Nap 2013  
Budapest



# Motiváció

- ▶ Atomok erős csatolása a környezet bizonyos módusaihoz
  - ▶ Atomok közti összefonódás
  - ▶ Szubradiáns kollektív állapotok
  - ▶ Kvantumkapuk

# Motiváció

- ▶ Atomok erős csatolása a környezet bizonyos módusaihoz
  - ▶ Atomok közti összefonódás
  - ▶ Szubradiáns kollektív állapotok
  - ▶ Kvantumkapuk
- ▶ A rendszer *atomonkénti* manipulálhatósága

# Motiváció

- ▶ Atomok erős csatolása a környezet bizonyos módusaihoz
  - ▶ Atomok közti összefonódás
  - ▶ Szubradiáns kollektív állapotok
  - ▶ Kvantumkapuk
- ▶ A rendszer *atomonkénti* manipulálhatósága
- ▶ Miért előnyös Green-tenzort használni?
  - ▶ Atomok száma és pozíciója könnyen változtatható
  - ▶ Veszeségek a környezetben könnyen bevezethetők

## Master-egyenlet N atomra

- ▶ Master-egyenlet N atomra, Markov-közelítésben

$$\dot{\hat{\rho}}_A = \frac{1}{i\hbar} \left[ \sum_{m,n=1}^N \hbar \delta\omega_{mn} \hat{\sigma}_m^+ \hat{\sigma}_n^- , \hat{\rho}_A \right] - \sum_{m,n=1}^N \Gamma_{mn} (\hat{\sigma}_m^+ \hat{\sigma}_n^- \hat{\rho}_A + \hat{\rho}_A \hat{\sigma}_m^+ \hat{\sigma}_n^- - 2\hat{\sigma}_n^- \hat{\rho}_A \hat{\sigma}_m^+)$$

# Master-egyenlet N atomra

- ▶ Master-egyenlet N atomra, Markov-közelítésben

$$\dot{\hat{\rho}}_A = \frac{1}{i\hbar} \left[ \sum_{m,n=1}^N \hbar \delta\omega_{mn} \hat{\sigma}_m^+ \hat{\sigma}_n^- , \hat{\rho}_A \right] - \sum_{m,n=1}^N \Gamma_{mn} (\hat{\sigma}_m^+ \hat{\sigma}_n^- \hat{\rho}_A + \hat{\rho}_A \hat{\sigma}_m^+ \hat{\sigma}_n^- - 2\hat{\sigma}_n^- \hat{\rho}_A \hat{\sigma}_m^+)$$

- ▶ A környezet válasza határozza meg a bomlási rátákat és az energiaeltolódásokat

$$\Gamma_{mn} = \frac{\omega_A^2}{\hbar\epsilon_0 c^2} \mathbf{d}_m^T \text{Im} \left\{ \bar{\bar{G}}(\mathbf{r}_m, \mathbf{r}_n, \omega_A) \right\} \mathbf{d}_n$$

$$\delta\omega_{mn} = \frac{1}{\hbar\pi\epsilon_0 c^2} \mathbb{P} \int_0^\infty d\omega \frac{\omega^2}{\omega_A - \omega} \mathbf{d}_m^T \text{Im} \left\{ \bar{\bar{G}}(\mathbf{r}_m, \mathbf{r}_n, \omega) \right\} \mathbf{d}_n$$

# Master-egyenlet N atomra

- ▶ Master-egyenlet N atomra, Markov-közelítésben

$$\begin{aligned}\dot{\hat{\rho}}_A = & \frac{1}{i\hbar} \left[ \sum_{m,n=1}^N \hbar \delta\omega_{mn} \hat{\sigma}_m^+ \hat{\sigma}_n^- , \hat{\rho}_A \right] \\ & - \sum_{m,n=1}^N \Gamma_{mn} (\hat{\sigma}_m^+ \hat{\sigma}_n^- \hat{\rho}_A + \hat{\rho}_A \hat{\sigma}_m^+ \hat{\sigma}_n^- - 2\hat{\sigma}_n^- \hat{\rho}_A \hat{\sigma}_m^+)\end{aligned}$$

- ▶ A környezet válasza határozza meg a bomlási rátákat és az energiaeltolódásokat

$$\begin{aligned}\Gamma_{mn} &= \frac{\omega_A^2}{\hbar\epsilon_0 c^2} \mathbf{d}_m^T \text{Im} \left\{ \bar{\bar{G}}(\mathbf{r}_m, \mathbf{r}_n, \omega_A) \right\} \mathbf{d}_n \\ \delta\omega_{mn} &= \frac{1}{\hbar\pi\epsilon_0 c^2} \mathbb{P} \int_0^\infty d\omega \frac{\omega^2}{\omega_A - \omega} \mathbf{d}_m^T \text{Im} \left\{ \bar{\bar{G}}(\mathbf{r}_m, \mathbf{r}_n, \omega) \right\} \mathbf{d}_n\end{aligned}$$

- ▶ Maxwell-Helmholtz-hullámegyenlet

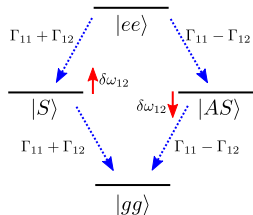
$$\left[ \nabla \times \nabla \times - \frac{\omega^2}{c^2} \epsilon(\mathbf{r}, \omega) \right] \bar{\bar{G}}(\mathbf{r}, \mathbf{r}_A, \omega) = \bar{I} \delta(\mathbf{r} - \mathbf{r}_A)$$

# Dicke-szupersugárzás vákuumban

- ▶ Kollektív állapotok

$$|S\rangle = \frac{1}{\sqrt{2}} (|ge\rangle + |eg\rangle)$$

$$|AS\rangle = \frac{1}{\sqrt{2}} (|ge\rangle - |eg\rangle)$$



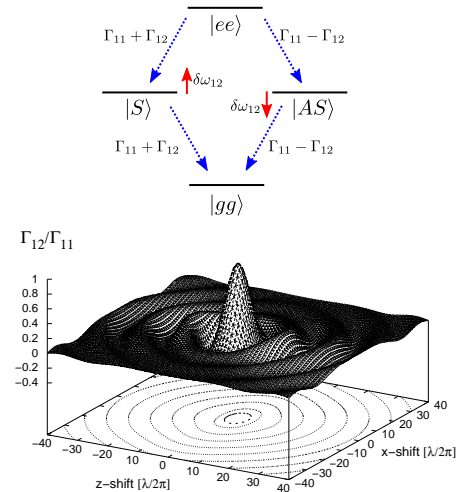
# Dicke-szupersugárzás vákuumban

- ▶ Kollektív állapotok

$$|S\rangle = \frac{1}{\sqrt{2}} (|ge\rangle + |eg\rangle)$$

$$|AS\rangle = \frac{1}{\sqrt{2}} (|ge\rangle - |eg\rangle)$$

- ▶  $\Gamma_{12}$  nagy ha  $r < \lambda$



# Dicke-szupersugárzás vákuumban

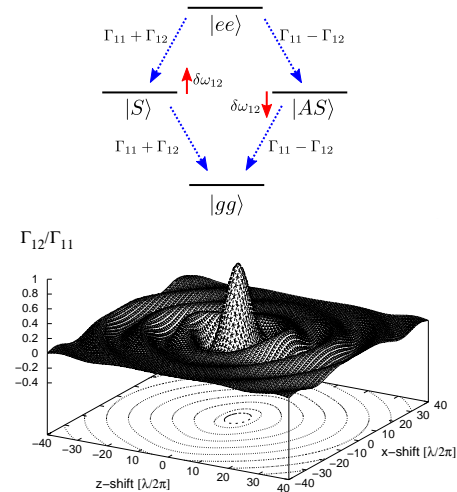
- ▶ Kollektív állapotok

$$|S\rangle = \frac{1}{\sqrt{2}} (|ge\rangle + |eg\rangle)$$

$$|AS\rangle = \frac{1}{\sqrt{2}} (|ge\rangle - |eg\rangle)$$

- ▶  $\Gamma_{12}$  nagy ha  $r < \lambda$

- ▶  $\Gamma_{12}(r) \propto r^{-(d-1)}$



# Dicke-szupersugárzás vákuumban

- ▶ Kollektív állapotok

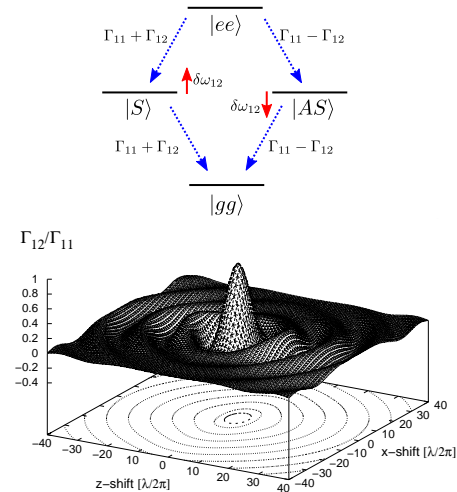
$$|S\rangle = \frac{1}{\sqrt{2}} (|ge\rangle + |eg\rangle)$$

$$|AS\rangle = \frac{1}{\sqrt{2}} (|ge\rangle - |eg\rangle)$$

- ▶  $\Gamma_{12}$  nagy ha  $r < \lambda$

- ▶  $\Gamma_{12}(r) \propto r^{-(d-1)}$

→ 1D csatolás kell:  
vékony drót



# Dicke-szupersugárzás vákuumban

- ▶ Kollektív állapotok

$$|S\rangle = \frac{1}{\sqrt{2}} (|ge\rangle + |eg\rangle)$$

$$|AS\rangle = \frac{1}{\sqrt{2}} (|ge\rangle - |eg\rangle)$$

- ▶  $\Gamma_{12}$  nagy ha  $r < \lambda$

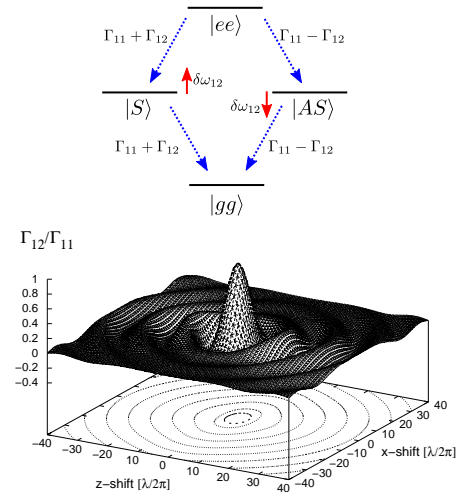
- ▶  $\Gamma_{12}(r) \propto r^{-(d-1)}$

→ 1D csatolás kell:

**vékony drót**

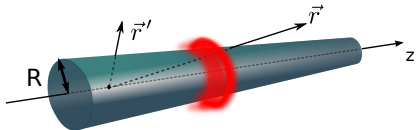
→ csúcs eltolása:

**tökéletes lencse**



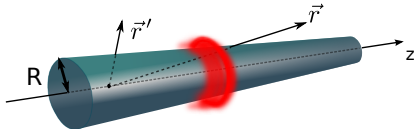
# Nanodrót sajátmódusai

- ▶ Határfeltételek hengeres vezető esetére



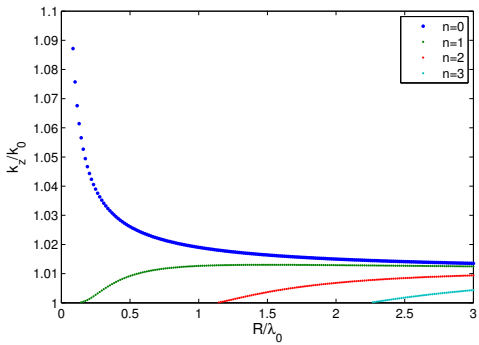
# Nanodrót sajátmódusai

- ▶ Határfeltételek hengeres vezető esetére



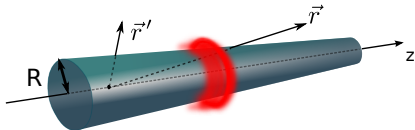
- ▶ Sajátmódusok ( $\omega = \text{const}$ )

$R \rightarrow 0$ :



# Nanodrót sajátmódusai

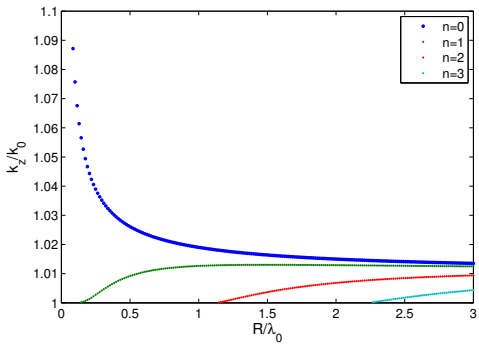
- ▶ Határfeltételek hengeres vezető esetére



- ▶ Sajátmódusok ( $\omega = \text{const}$ )

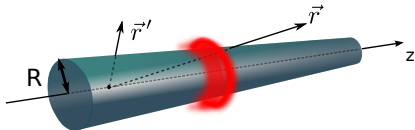
$R \rightarrow 0$ :

- ▶ Egymódusú drót



# Nanodrót sajátmódusai

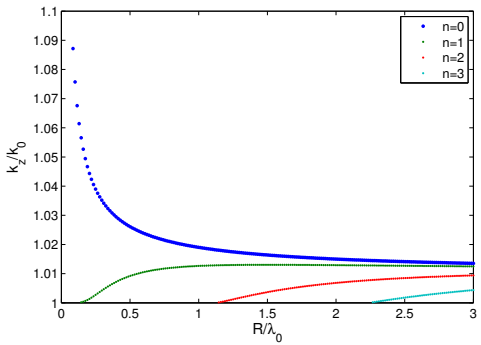
- ▶ Határfeltételek hengeres vezető esetére



- ▶ Sajátmódusok ( $\omega = \text{const}$ )

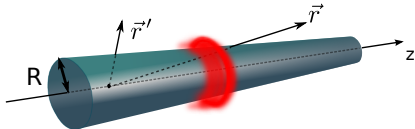
$R \rightarrow 0$ :

- ▶ Egymódusú drót
- ▶ Növekvő radiális bezártság ( $e^{ik_r r}$ ,  $k_r = \sqrt{k_0^2 - k_z^2}$ )



# Nanodrót sajátmódusai

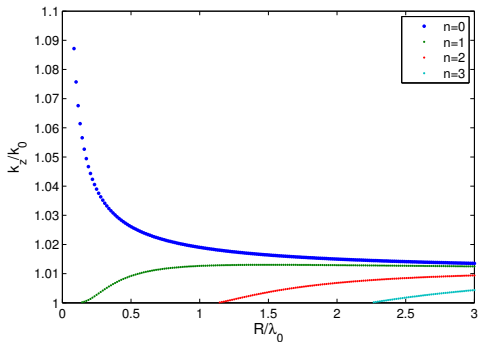
- ▶ Határfeltételek hengeres vezető esetére



- ▶ Sajátmódusok ( $\omega = \text{const}$ )

$R \rightarrow 0:$

- ▶ Egymódusú drót
- ▶ Növekvő radiális bezártság  $(e^{ik_r r}, k_r = \sqrt{k_0^2 - k_z^2})$
- ▶ Erős atom-plazmon kölcsönhatás

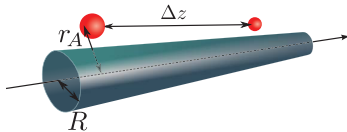
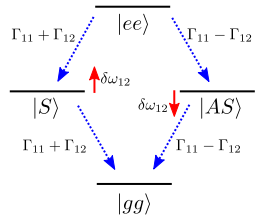


# Atompár szupersugárzása

- Bomlási ráták és dipóleltolódások

$$\Gamma_{mn} = \frac{2\omega_A^2}{\hbar\epsilon_0 c^2} \mathbf{d}_m^T \text{Im} \left\{ \bar{\bar{G}}(\mathbf{r}_m, \mathbf{r}_n, \omega_A) \right\} \mathbf{d}_n$$

$$\delta\omega_{mn} = \mathbb{P} \int_0^\infty d\omega \frac{\omega^2}{\omega_A - \omega} \frac{\mathbf{d}_m^T \text{Im} \left\{ \bar{\bar{G}}(\mathbf{r}_m, \mathbf{r}_n, \omega) \right\} \mathbf{d}_n}{\hbar\pi\epsilon_0 c^2}$$

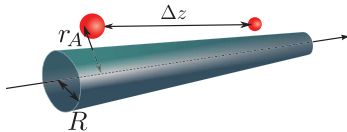
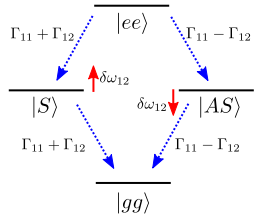


# Atompár szupersugárzása

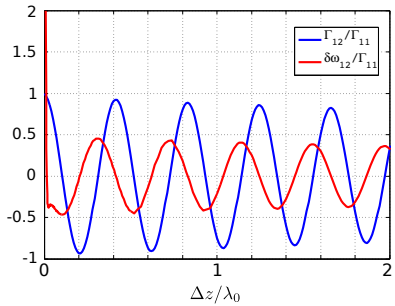
- Bomlási ráták és dipóleltolódások

$$\Gamma_{mn} = \frac{2\omega_A^2}{\hbar\epsilon_0 c^2} \mathbf{d}_m^T \text{Im} \left\{ \bar{\bar{G}}(\mathbf{r}_m, \mathbf{r}_n, \omega_A) \right\} \mathbf{d}_n$$

$$\delta\omega_{mn} = \mathbb{P} \int_0^\infty d\omega \frac{\omega^2}{\omega_A - \omega} \frac{\mathbf{d}_m^T \text{Im} \left\{ \bar{\bar{G}}(\mathbf{r}_m, \mathbf{r}_n, \omega) \right\} \mathbf{d}_n}{\hbar\pi\epsilon_0 c^2}$$



- Hosszútávú szupersugárzás

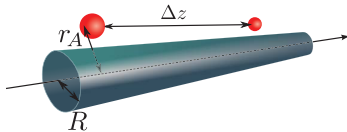
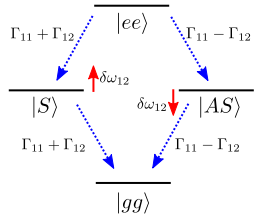


# Atompár szupersugárzása

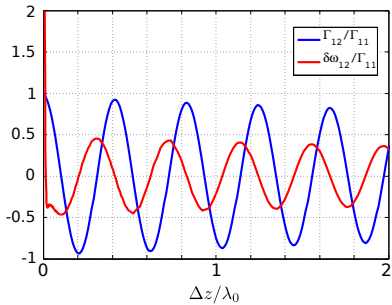
- Bomlási ráták és dipóleltolódások

$$\Gamma_{mn} = \frac{2\omega_A^2}{\hbar\epsilon_0 c^2} \mathbf{d}_m^T \text{Im} \left\{ \bar{\bar{G}}(\mathbf{r}_m, \mathbf{r}_n, \omega_A) \right\} \mathbf{d}_n$$

$$\delta\omega_{mn} = \mathbb{P} \int_0^\infty d\omega \frac{\omega^2}{\omega_A - \omega} \frac{\mathbf{d}_m^T \text{Im} \left\{ \bar{\bar{G}}(\mathbf{r}_m, \mathbf{r}_n, \omega) \right\} \mathbf{d}_n}{\hbar\pi\epsilon_0 c^2}$$



- Hosszútávú szupersugárzás
- Szubradiáns összefonódott állapotok



# 3 atom nanodrót közelében

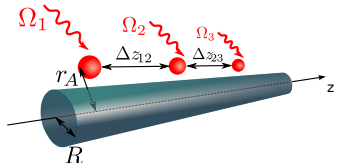
- Atomok közti távolságok

$$\left. \begin{array}{l} \Delta z_{12} \\ \Delta z_{23} \end{array} \right\} = q \lambda^{SP}$$

( $q = 1, 2, \dots$ )



$$\Gamma_{12} \approx \Gamma_{11}$$



- Hosszúéletű,  
összefonódott állapotok

$$|2, 1\rangle = \frac{1}{\sqrt{2}} (|gge\rangle - |egg\rangle)$$

$$|3, 1\rangle = \frac{1}{\sqrt{6}} (|gge\rangle - 2|geg\rangle + |egg\rangle)$$

$$\overline{|eee\rangle}$$

$$\overline{|1, 2\rangle}$$

$$\overline{|2, 2\rangle}$$

$$\overline{|3, 2\rangle}$$

$$\overline{|1, 1\rangle}$$

$$\overline{|2, 1\rangle}$$

$$\overline{|3, 1\rangle}$$

$$\overline{|ggg\rangle}$$

# 3 atom nanodrót közelében

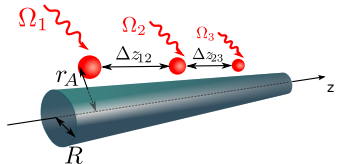
- Atomok közti távolságok

$$\left. \begin{array}{l} \Delta z_{12} \\ \Delta z_{23} \end{array} \right\} = q \lambda^{SP}$$

$$(q = 1, 2, \dots)$$



$$\Gamma_{12} \approx \Gamma_{11}$$



- Hosszúéletű,  
összefonódott állapotok

$$|2, 1\rangle = \frac{1}{\sqrt{2}} (|gge\rangle - |egg\rangle)$$

$$|3, 1\rangle = \frac{1}{\sqrt{6}} (|gge\rangle - 2|geg\rangle + |egg\rangle)$$

$$\overline{|eee\rangle}$$

$$\overline{|1, 2\rangle}$$

$$\overline{|2, 2\rangle}$$

$$\overline{|3, 2\rangle}$$

$$\overline{|1, 1\rangle}$$

$$\overline{|2, 1\rangle}$$

$$\overline{|3, 1\rangle}$$

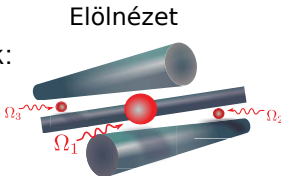
$$\overline{|ggg\rangle}$$

**2- és 3-részecsikés  
összefonódás!**

# 3 atom, 3 drót

- Atomok közti távolságok:

$$\left. \begin{array}{l} \Delta z_{12} \\ \Delta z_{23} \\ \Delta z_{13} \end{array} \right\} = (1/2 + q) \lambda^{SP}$$



$\overline{|eee\rangle}$

- Egyetlen hosszúéletű, összefonódott állapot:

$$|1, 1\rangle = \frac{1}{\sqrt{3}} (|egg\rangle + |geg\rangle + |gge\rangle)$$

$\overline{|1, 2\rangle}$        $\overline{|2, 2\rangle}$        $\overline{|3, 2\rangle}$

$\overline{|1, 1\rangle}$

$\overline{|2, 1\rangle}$

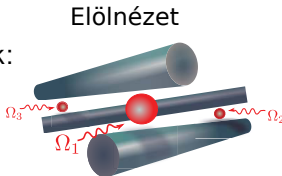
$\overline{|3, 1\rangle}$

$\overline{|ggg\rangle}$

# 3 atom, 3 drót

- Atomok közti távolságok:

$$\left. \begin{array}{l} \Delta z_{12} \\ \Delta z_{23} \\ \Delta z_{13} \end{array} \right\} = (1/2 + q) \lambda^{SP}$$



$\overline{|eee\rangle}$

- Egyetlen hosszúéletű, összefonódott állapot:

$$|1, 1\rangle = \frac{1}{\sqrt{3}} (|egg\rangle + |geg\rangle + |gge\rangle)$$

$\overline{|1, 2\rangle}$

$\overline{|2, 2\rangle}$

$\overline{|3, 2\rangle}$

$\overline{|1, 1\rangle}$

$\overline{|2, 1\rangle}$

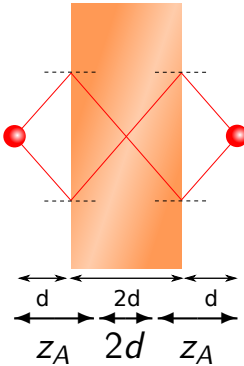
$\overline{|3, 1\rangle}$

**3-részecsksés  
összefonódás  
(W-állapot)!**

$\overline{|ggg\rangle}$

# Csatolás tökéletes lencsével

- ▶  $n(\omega_A) = -1$
- ▶ Fókuszálás  $z_A = d$  esetén
- ▶ Haladó ÉS evaneszcens hullámokat egyaránt leképez



# Csatolás tökéletes lencsével

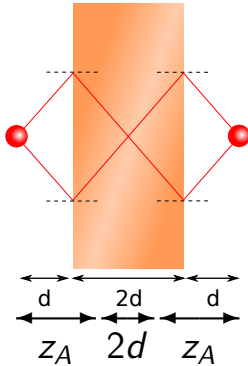
- ▶  $n(\omega_A) = -1$
- ▶ Fókuszálás  $z_A = d$  esetén
- ▶ Haladó ÉS evaneszcens hullámokat egyaránt leképez

Bomlási ráták, energiaeltolódások

$$\Gamma_{mn} = \frac{\omega_A^2}{\hbar\epsilon_0 c^2} \mathbf{d}_m^T \text{Im} \left\{ \bar{\bar{G}}(\mathbf{r}_m, \mathbf{r}_n, \omega_A) \right\} \mathbf{d}_n$$

$$\delta\omega_{mn} = \frac{1}{\hbar\pi\epsilon_0 c^2} \mathbb{P} \int_0^\infty d\omega \frac{\omega^2}{\omega_A - \omega} \mathbf{d}_m^T \text{Im} \left\{ \bar{\bar{G}}(\mathbf{r}_m, \mathbf{r}_n, \omega) \right\} \mathbf{d}_n$$

$$= \frac{\mathbf{d}_m^T}{\hbar\pi\epsilon_0} \left[ \frac{\pi\omega_A^2}{c^2} \text{Re} \left\{ \bar{\bar{G}}(\mathbf{r}_m, \mathbf{r}_n, \omega_A) \right\} + \int_0^\infty d\kappa \frac{\kappa^2}{c^2} \text{Re} \left\{ \bar{\bar{G}}(\mathbf{r}_m, \mathbf{r}_n, i\kappa) \right\} \frac{\omega_A}{\kappa^2 + \omega_A^2} \right] \mathbf{d}_n$$



# Csatolás tökéletes lencsével

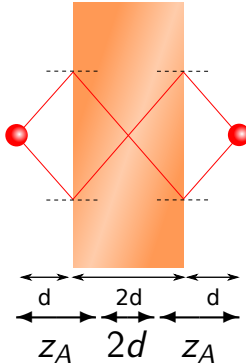
- ▶  $n(\omega_A) = -1$
- ▶ Fókuszálás  $z_A = d$  esetén
- ▶ Haladó ÉS evaneszcens hullámokat egyaránt leképez

Bomlási ráták, energiaeltolódások

$$\Gamma_{mn} = \frac{\omega_A^2}{\hbar\epsilon_0 c^2} \mathbf{d}_m^T \text{Im} \left\{ \bar{\bar{G}}(\mathbf{r}_m, \mathbf{r}_n, \omega_A) \right\} \mathbf{d}_n$$

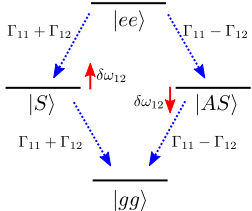
$$\delta\omega_{mn} = \frac{1}{\hbar\pi\epsilon_0 c^2} \mathbb{P} \int_0^\infty d\omega \frac{\omega^2}{\omega_A - \omega} \mathbf{d}_m^T \text{Im} \left\{ \bar{\bar{G}}(\mathbf{r}_m, \mathbf{r}_n, \omega) \right\} \mathbf{d}_n$$

$$= \frac{\mathbf{d}_m^T}{\hbar\pi\epsilon_0} \left[ \frac{\pi\omega_A^2}{c^2} \text{Re} \left\{ \bar{\bar{G}}(\mathbf{r}_m, \mathbf{r}_n, \omega_A) \right\} + \int_0^\infty d\kappa \frac{\kappa^2}{c^2} \text{Re} \left\{ \bar{\bar{G}}(\mathbf{r}_m, \mathbf{r}_n, i\kappa) \right\} \frac{\omega_A}{\kappa^2 + \omega_A^2} \right] \mathbf{d}_n$$

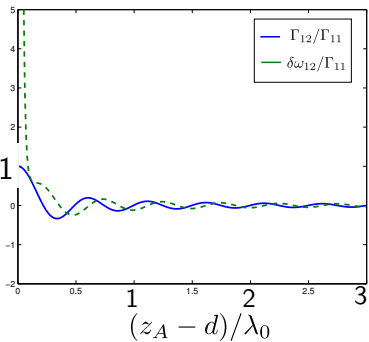


$\omega \approx 0$  járulék

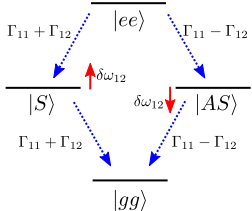
# Csatolás tökéletes lencsével



- $z_A \rightarrow d$
- Szupersugárzás mezoszkopikus távolságokon
- $\delta\omega_{12}$  divergál!

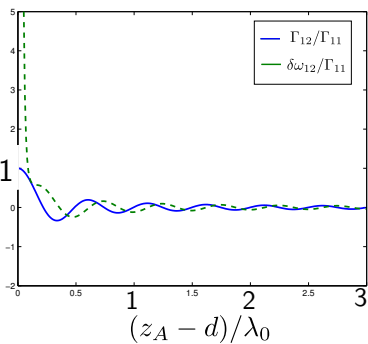


# Csatolás tökéletes lencsével

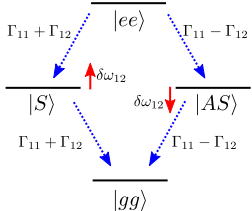


- ▶  $z_A \rightarrow d$
- ▶ Szupersugárzás mezoszkopikus távolságokon
- ▶  $\delta\omega_{12}$  divergál!

▶  $|AS\rangle$  szubradiánssá válik

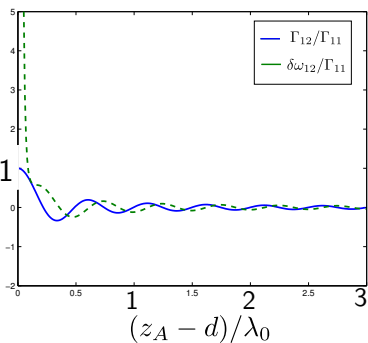


# Csatolás tökéletes lencsével



- $z_A \rightarrow d$
- Szupersugárzás mezoszkopikus távolságokon
- $\delta\omega_{12}$  divergál!

- $|AS\rangle$  szubradiánssá válik
- $|S\rangle$  and  $|AS\rangle$  szelektíven gerjeszthetők:  
*kvantumkapu szempontjából előnyös*



# Determinisztikus fáziskapu

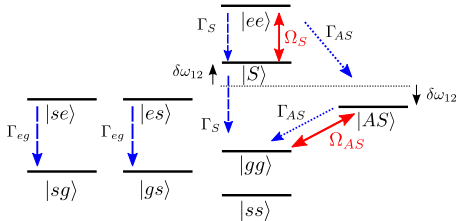
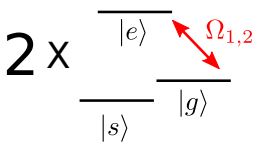
- ▶ Két, 3-nívós Λ atomot csatolunk

$$2 \times \frac{\overline{|e\rangle}}{\overline{|s\rangle}} - \frac{\Omega_{1,2}}{\overline{|g\rangle}}$$

- ▶ Csak a  $|g\rangle - |e\rangle$  átmenetek csatolódnak ( $n(\omega_{eg}) = -1 + i10^{-4}$ )
- ▶  $|e\rangle$  nem bomlik  $|s\rangle$ -be

# Determinisztikus fáziskapu

- ▶ Két, 3-nívós  $\Lambda$  atomot csatolunk



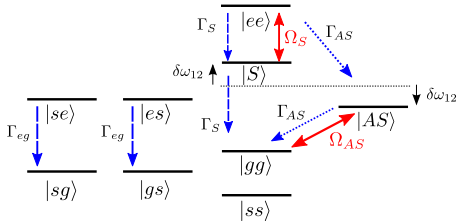
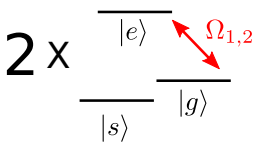
- ▶ Csak a  $|g\rangle - |e\rangle$  átmenetek csatolódnak ( $n(\omega_{eg}) = -1 + i \cdot 10^{-4}$ )
- ▶  $|e\rangle$  nem bomlik  $|s\rangle$ -be

$$\Omega_{AS} = 1/\sqrt{2}(\Omega_1 - \Omega_2)$$

$$\Omega_S = 1/\sqrt{2}(\Omega_1 + \Omega_2)$$

# Determinisztikus fáziskapu

- Két, 3-nívós  $\Lambda$  atomot csatolunk



- Csak a  $|g\rangle - |e\rangle$  átmenetek csatolódnak ( $n(\omega_{eg}) = -1 + i10^{-4}$ )

- $|e\rangle$  nem bomlik  $|s\rangle$ -be

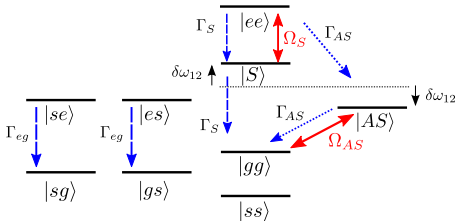
$$\Omega_{AS} = 1/\sqrt{2}(\Omega_1 - \Omega_2)$$

$$\Omega_S = 1/\sqrt{2}(\Omega_1 + \Omega_2)$$

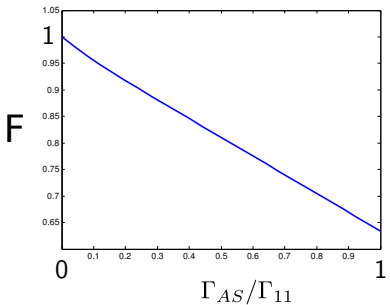
$ ss\rangle$	$\rightarrow$	$ ss\rangle$
$ sg\rangle$	$\rightarrow$	$ sg\rangle$
$ gs\rangle$	$\rightarrow$	$ gs\rangle$
$ gg\rangle$	$\rightarrow$	$- gg\rangle$

# Determinisztikus fáziskapu

$ ss\rangle$	$\rightarrow$	$ ss\rangle$
$ sg\rangle$	$\rightarrow$	$ sg\rangle$
$ gs\rangle$	$\rightarrow$	$ gs\rangle$
$ gg\rangle$	$\rightarrow$	$- gg\rangle$



- ▶ Populációátvitel rezonáns  $2\pi$  lézerpulzussal
- ▶ **Fidelity:**  
 $F = \text{Tr} [\rho_{ideal} \rho_{final}]$   
 $F \approx 1$  around  $z_A \approx d$
- ▶ **Atomok manipulálása egyenként:**  
 $d \propto \lambda_{opt}$



## Hibabecslés

- ▶  $\Omega_{AS}$  csak  $|gg\rangle$ -t és  $|AS\rangle$ -t csatolja

## Hibabecslés

- ▶  $\Omega_{AS}$  csak  $|gg\rangle$ -t és  $|AS\rangle$ -t csatolja
- ▶ A kapu tökéletlenségének forrása  $\Gamma_{AS} \neq 0$

## Hibabecslés

- ▶  $\Omega_{AS}$  csak  $|gg\rangle$ -t és  $|AS\rangle$ -t csatolja
- ▶ A kapu tökéletlenségének forrása  $\Gamma_{AS} \neq 0$

$$\text{Imp} = 1 \times \Gamma_{AS} \tau_p$$

# Hibabecslés

- ▶  $\Omega_{AS}$  csak  $|gg\rangle$ -t és  $|AS\rangle$ -t csatolja
- ▶ A kapu tökéletlenségének forrása  $\Gamma_{AS} \neq 0$

$$\text{Imp} = 1 \times \Gamma_{AS} \tau_p$$

- ▶  $2\pi$  pulzus:  $\tau_p \propto 1/\Omega_{AS}^0$

$$\text{Imp} \propto \Gamma_{AS} / \Omega_{AS}^0$$

**Imp egyenesen  
arányos  $\Gamma_{AS}$ -sel**

# Hibabecslés

- ▶  $\Omega_{AS}$  csak  $|gg\rangle$ -t és  $|AS\rangle$ -t csatolja
- ▶ A kapu tökéletlenségének forrása  $\Gamma_{AS} \neq 0$

$$\text{Imp} = 1 \times \Gamma_{AS} \tau_p$$

- ▶  $2\pi$  pulzus:  $\tau_p \propto 1/\Omega_{AS}^0$

$$\text{Imp} \propto \Gamma_{AS} / \Omega_{AS}^0$$

**Imp egyenesen  
arányos  $\Gamma_{AS}$ -sel**

- ▶  $\Omega_{AS}^0 \rightarrow \infty$ :  $\text{Imp} \rightarrow 0$

# Hibabecslés

- ▶  $\Omega_{AS}$  csak  $|gg\rangle$ -t és  $|AS\rangle$ -t csatolja
- ▶ A kapu tökéletlenségének forrása  $\Gamma_{AS} \neq 0$

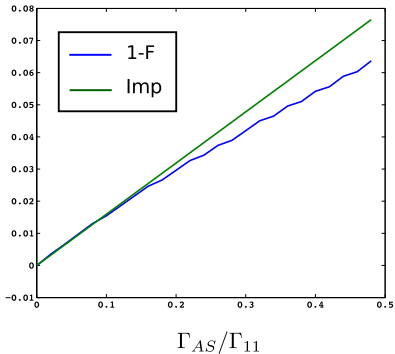
$$\text{Imp} = 1 \times \Gamma_{AS} \tau_p$$

- ▶  $2\pi$  pulzus:  $\tau_p \propto 1/\Omega_{AS}^0$

$$\text{Imp} \propto \Gamma_{AS}/\Omega_{AS}^0$$

**Imp egyenesen arányos  $\Gamma_{AS}$ -sel**

- ▶  $\Omega_{AS}^0 \rightarrow \infty$ :  $\text{Imp} \rightarrow 0$



## Összegzés

- ▶ Vékony nanodrót (kvázi 1D), ill. negatív törésmutatójú anyag (3D) igen erős atom-plazmon csatolást tesz lehetővé

## Összegzés

- ▶ Vékony nanodrót (kvázi 1D), ill. negatív törésmutatójú anyag (3D) igen erős atom-plazmon csatolást tesz lehetővé
- ▶ Több atom és drót csatolása: egzotikus, hosszú élettartamú, összefonódott állapotok

## Összegzés

- ▶ Vékony nanodrót (kvázi 1D), ill. negatív törésmutatójú anyag (3D) igen erős atom-plazmon csatolást tesz lehetővé
- ▶ Több atom és drót csatolása: egzotikus, hosszú élettartamú, összefonódott állapotok
- ▶ Tökéletes lencse esetén lehetséges, hogy  $\delta\omega_{12} \gg \Gamma_{11}$  AND  $|\mathbf{r}_1 - \mathbf{r}_2| \gg \lambda_{opt}$

## Összegzés

- ▶ Vékony nanodrót (kvázi 1D), ill. negatív törésmutatójú anyag (3D) igen erős atom-plazmon csatolást tesz lehetővé
- ▶ Több atom és drót csatolása: egzotikus, hosszú élettartamú, összefonódott állapotok
- ▶ Tökéletes lencse esetén lehetséges, hogy  $\delta\omega_{12} \gg \Gamma_{11}$  AND  $|\mathbf{r}_1 - \mathbf{r}_2| \gg \lambda_{opt}$
- ▶ Tökéletes lencsén alapuló, determinisztikus, magas fidelitású kvantumkapu

Köszönöm a figyelmet!

## Bonus: Formalism I

- ▶ Markov approximation

$$\begin{aligned} \int_{-\infty}^t d\tau \hat{\rho}(\tau) e^{-i(\omega - \omega_A)(t-\tau)} &\approx \hat{\rho}(t) \int_{-\infty}^t d\tau e^{-i(\omega - \omega_A)(t-\tau)} \\ &= -i\mathbb{P}\left(\frac{1}{\omega - \omega_A}\right) + \pi\delta(\omega - \omega_A) \end{aligned}$$

- ▶ Green's tensor property:

$$\int d^3r' \frac{\omega^2}{c^2} \epsilon''(\mathbf{r}', \omega) \bar{\bar{G}}(\mathbf{r}_1, \mathbf{r}', \omega) \bar{\bar{G}}^\dagger(\mathbf{r}_2, \mathbf{r}', \omega) = \text{Im} \left[ \bar{\bar{G}}(\mathbf{r}_1, \mathbf{r}_2, \omega) \right]$$

## Bonus: Green's tensor of a wire

- ▶ Maxwell-Helmholtz wave equation

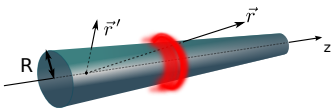
$$\left[ \nabla \times \nabla \times -\frac{\omega^2}{c^2} \epsilon(\mathbf{r}, \omega) \right] \bar{\bar{G}}(\mathbf{r}, \mathbf{r}_A, \omega) = \bar{\bar{I}} \delta(\mathbf{r} - \mathbf{r}_A)$$

- ▶ Solution for a single wire

- ▶ Source (atom) outside wire

$$\bar{\bar{G}}(\mathbf{r}, \mathbf{r}_A, \omega) = \begin{cases} \bar{\bar{G}}_0(\mathbf{r}, \mathbf{r}_A, \omega) + \bar{\bar{G}}_R(\mathbf{r}, \mathbf{r}_A, \omega) & r > R \\ \bar{\bar{G}}_T(\mathbf{r}, \mathbf{r}_A, \omega) & r < R \end{cases}$$

- ▶ Expansion over cylindrical harmonics (to fulfill boundary conditions)



# Bonus: Green's tensor of a wire

- ▶ Boundary conditions for cylinder

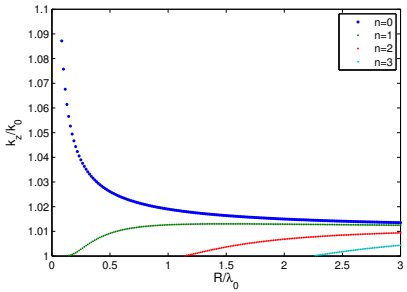
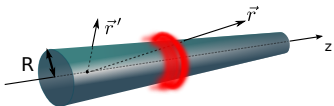
$$\hat{r} \times \bar{\bar{G}}(\mathbf{r}, \mathbf{r}_A)_{r=R^-} = \hat{r} \times \bar{\bar{G}}(\mathbf{r}, \mathbf{r}_A)_{r=R^+}$$

$$\hat{r} \times \nabla \times \bar{\bar{G}}(\mathbf{r}, \mathbf{r}_A)_{r=R^-} = \hat{r} \times \nabla \times \bar{\bar{G}}(\mathbf{r}, \mathbf{r}_A)_{r=R^+}$$

- ▶ Eigenmodes ( $\omega = \text{const}$ )

$R \rightarrow 0$ :

- ▶ Single-mode wire
- ▶ Radial confinement increases ( $e^{ik_r r}$ ;  
 $k_r = \sqrt{k_0^2 - k_z^2}$ )
- ▶ Strong atom-plasmon interaction expected



## Bonus: Formalism II

- ▶ Green's tensor expanded

$$\bar{\bar{G}}_0(\mathbf{r}, \mathbf{r}', \omega) = -\frac{\hat{r} \otimes \hat{r} \delta(\mathbf{r} - \mathbf{r}')}{k_0^2} + \frac{i}{8\pi} \int_{-\infty}^{\infty} dk_z \sum_{n=0}^{\infty} \frac{2 - \delta_{n,0}}{k_{r_0}^2} \\ \times \begin{cases} \mathbf{M}_{\overset{\circ}{e}n}^{(1)}(k_z, \mathbf{r}) \otimes \mathbf{M}_{\overset{\circ}{e}n}^{(1)}(-k_z, \mathbf{r}') + \mathbf{N}_{\overset{\circ}{e}n}^{(1)}(k_z, \mathbf{r}) \otimes \mathbf{N}_{\overset{\circ}{e}n}^{(1)}(-k_z, \mathbf{r}'), & r > r' \\ \mathbf{M}_{\overset{\circ}{e}n}^{(1)}(k_z, \mathbf{r}) \otimes \mathbf{M}_{\overset{\circ}{e}n}^{(1)}(-k_z, \mathbf{r}') + \mathbf{N}_{\overset{\circ}{e}n}^{(1)}(k_z, \mathbf{r}) \otimes \mathbf{N}_{\overset{\circ}{e}n}^{(1)}(-k_z, \mathbf{r}'), & r < r' \end{cases} \quad (1)$$

$$\bar{\bar{G}}_R(\mathbf{r}, \mathbf{r}', \omega) = \frac{i}{8\pi} \int_{-\infty}^{\infty} dk_z \sum_{n=0}^{\infty} \frac{2 - \delta_{n,0}}{k_{r_0}^2} \\ [ (A_R \mathbf{M}_{\overset{\circ}{e}n}^{(1)}(k_z, \mathbf{r}) + B_R \mathbf{N}_{\overset{\circ}{e}n}^{(1)}(k_z, \mathbf{r})) \otimes \mathbf{M}_{\overset{\circ}{e}n}^{(1)}(-k_z, \mathbf{r}') \\ + (C_R \mathbf{N}_{\overset{\circ}{e}n}^{(1)}(k_z, \mathbf{r}) + D_R \mathbf{M}_{\overset{\circ}{e}n}^{(1)}(k_z, \mathbf{r})) \otimes \mathbf{N}_{\overset{\circ}{e}n}^{(1)}(-k_z, \mathbf{r}') ] \quad (2)$$

$$\bar{\bar{G}}_T(\mathbf{r}, \mathbf{r}', \omega) = \frac{i}{8\pi} \int_{-\infty}^{\infty} dk_z \sum_{n=0}^{\infty} \frac{2 - \delta_{n,0}}{k_{r_0}^2} \\ [ (A_T \mathbf{M}_{\overset{\circ}{e}n}^{(1)}(k_z, \mathbf{r}) + B_T \mathbf{N}_{\overset{\circ}{e}n}^{(1)}(k_z, \mathbf{r})) \otimes \mathbf{M}_{\overset{\circ}{e}n}^{(1)}(-k_z, \mathbf{r}') \\ + (C_T \mathbf{N}_{\overset{\circ}{e}n}^{(1)}(k_z, \mathbf{r}) + D_T \mathbf{M}_{\overset{\circ}{e}n}^{(1)}(k_z, \mathbf{r})) \otimes \mathbf{N}_{\overset{\circ}{e}n}^{(1)}(-k_z, \mathbf{r}') ] \quad (3)$$

## Bonus: Formalism III

- ▶ Cylindrical harmonic vector wave functions

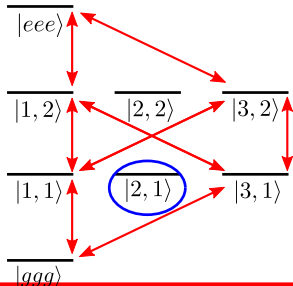
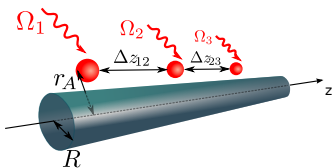
$$\begin{aligned}\left\{\begin{array}{l} \mathbf{M}_{e,n}(k_z, \mathbf{r}) \\ \mathbf{M}_{o,n}(k_z, \mathbf{r}) \end{array}\right\} &= \left\{\begin{array}{l} \nabla \times [J_n(k_{r_0,1} r) (\cos n\phi) e^{ik_z z} \hat{z}] \\ \nabla \times [J_n(k_{r_0,1} r) (\sin n\phi) e^{ik_z z} \hat{z}] \end{array}\right\} \\ \left\{\begin{array}{l} \mathbf{N}_{e,n}(k_z, \mathbf{r}) \\ \mathbf{N}_{o,n}(k_z, \mathbf{r}) \end{array}\right\} &= \left\{\begin{array}{l} \frac{1}{k_{0,1}} \nabla \times \mathbf{M}_{e,n}(k_z, \mathbf{r}) \\ \frac{1}{k_{0,1}} \nabla \times \mathbf{M}_{o,n}(k_z, \mathbf{r}) \end{array}\right\},\end{aligned}$$

- ▶ If  $\mathbf{M}^{(1)}, \mathbf{N}^{(1)}$ :  $J_n$  is replaced by  $H_n^{(1)}$

# Bonus: 3 atoms on a single, thin wire

- Pumping into entanglement

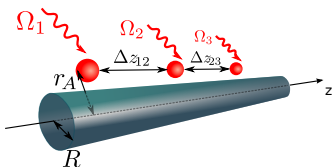
$$\begin{aligned}\Omega_1 &= \Omega_3 \\ \Omega_2 &= 0\end{aligned}$$



# Bonus: 3 atoms on a single, thin wire

- Pumping into entanglement

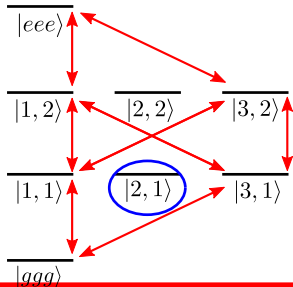
$$\begin{aligned}\Omega_1 &= \Omega_3 \\ \Omega_2 &= 0\end{aligned}$$



- System ends up in

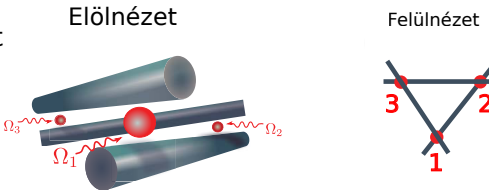
$$|2, 1\rangle = \frac{1}{\sqrt{2}} (|gge\rangle - |egg\rangle)$$

**2-particle entanglement**

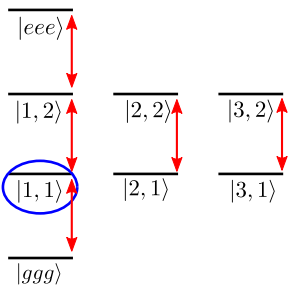
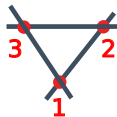


# 3 atoms, 3 wires

- ▶ Optical pumping will not work

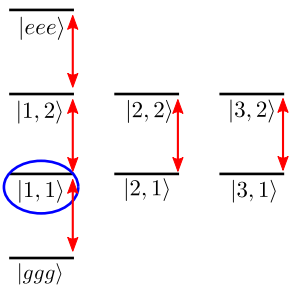
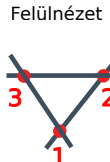
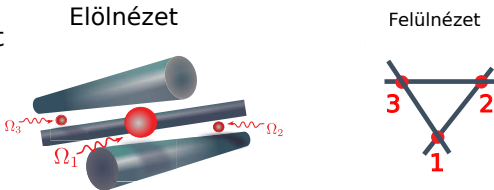


Felülnézet



# 3 atoms, 3 wires

- ▶ Optical pumping will not work
  - ▶ Decay from  $|eee\rangle$ , then post-selection



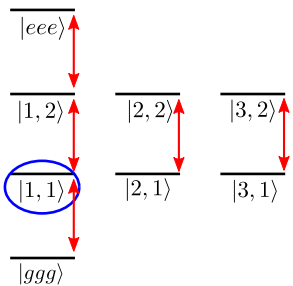
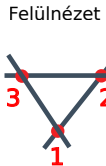
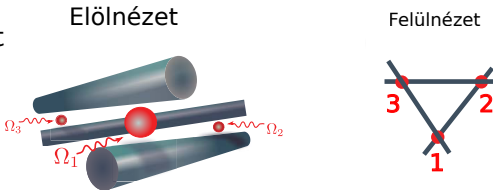
# 3 atoms, 3 wires

- ▶ Optical pumping will not work

- ▶ Decay from  $|eee\rangle$ , then post-selection
- ▶ OR: use low-amplitude  $\pi$ -pulse

$$\Omega_1 = \Omega_2 = \Omega_3$$

$$\Gamma_{slow} < \Omega_1 \ll \Gamma_{11}$$



# 3 atoms, 3 wires

- ▶ Optical pumping will not work

- ▶ Decay from  $|eee\rangle$ , then post-selection
- ▶ OR: use low-amplitude  $\pi$ -pulse

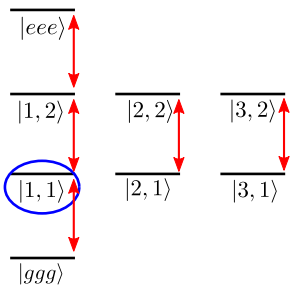
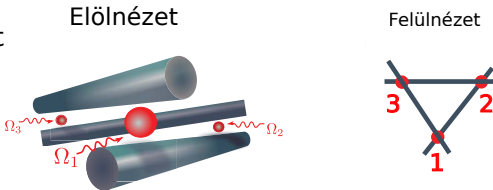
$$\Omega_1 = \Omega_2 = \Omega_3$$

$$\Gamma_{slow} < \Omega_1 \ll \Gamma_{11}$$

- ▶ System ends up in

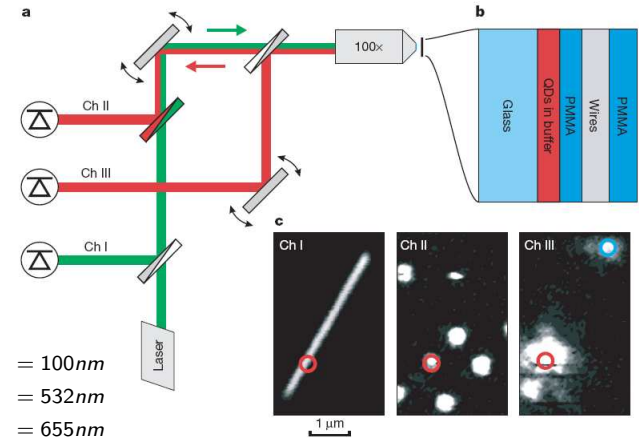
$$|1, 1\rangle = \frac{1}{\sqrt{3}} (|egg\rangle + |geg\rangle + |gge\rangle)$$

**3-particle entanglement**



# Bonus: Experiment I

- Coupling a quantum dot to SP modes



# Bonus: Experiment II

- ▶ Particle-wave duality of surface plasmons

R. Kolesov et al, Nature Phys. 5, 470 (2009)

